

Fig. 1A

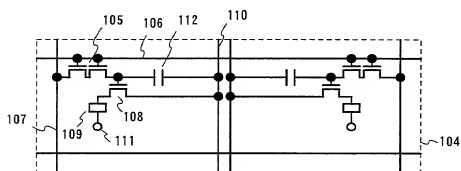


Fig. 1B

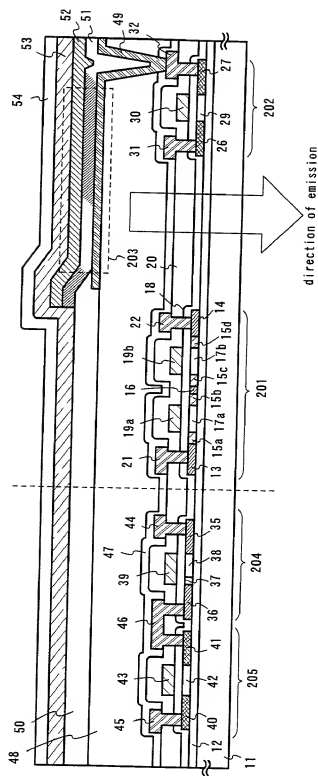


Fig. 2

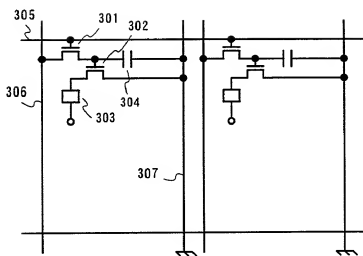


Fig. 3

Fig. 4A

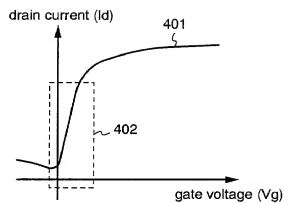


Fig. 4B

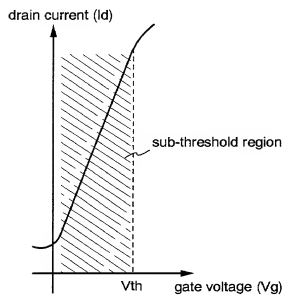


Fig. 5A

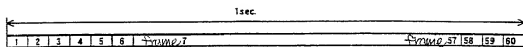


Fig. 5B

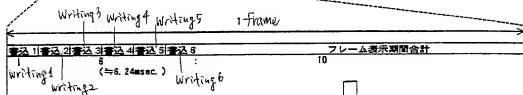


Fig. 5C

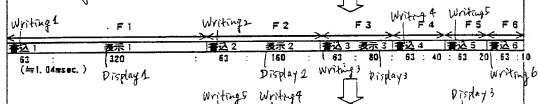


Fig. 5D

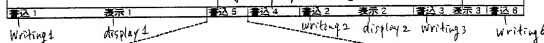


Fig. 5E

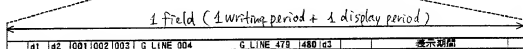


Fig. 5F

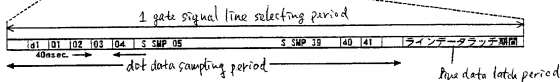
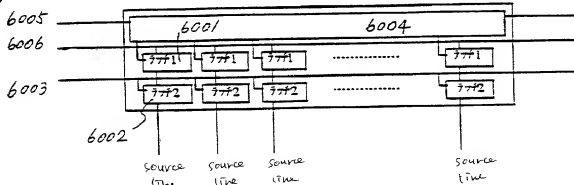


Fig. 6



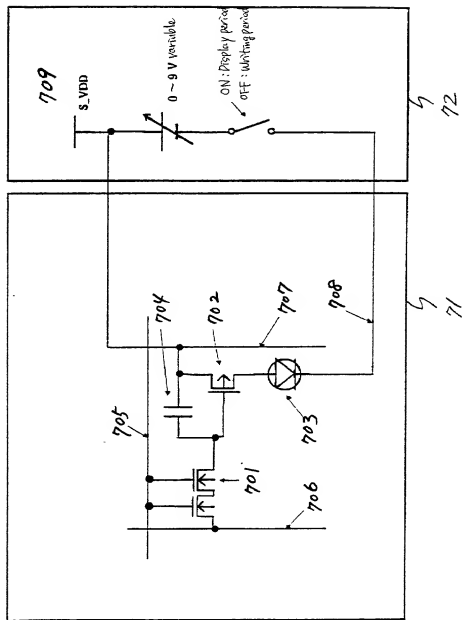


Fig. 7

Fig. 8

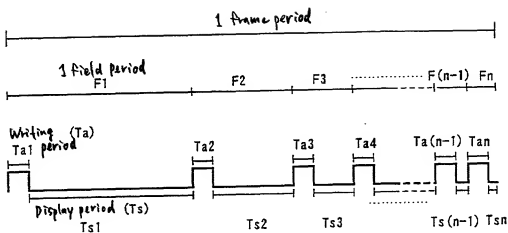
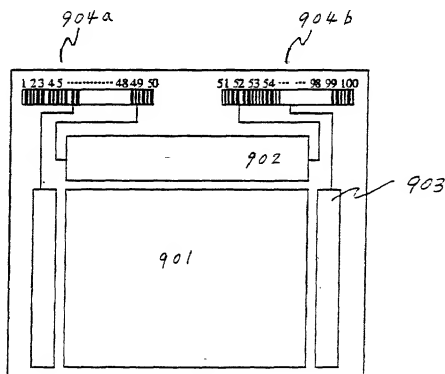
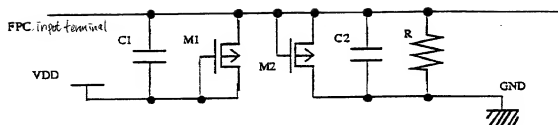


Fig. 9





$M1, M2 ; L=11W, W=250 \times 2 \text{ [}\mu\text{m]}$   
 $C1, C2 ; S=0.20 \times 0.08 \text{ [mm]} \text{ (GTa-Al間)}$   
 $R ; L=673, W=5 \text{ [}\mu\text{m]} \text{ (LDDSi)}$

Fig.10



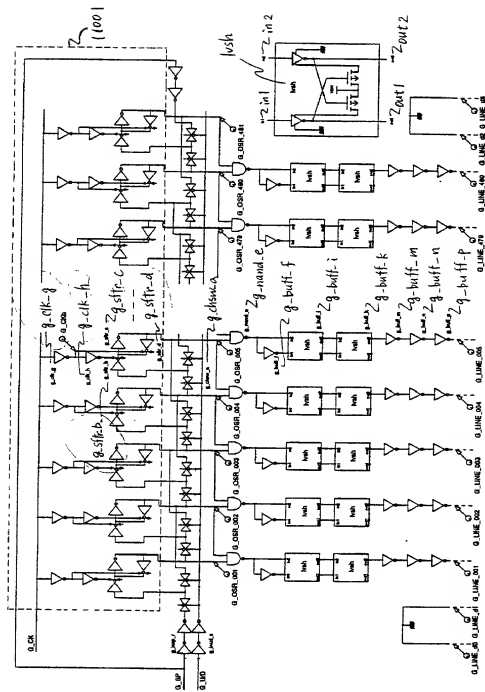


Fig. 11

Fig. 12



Fig. 13A

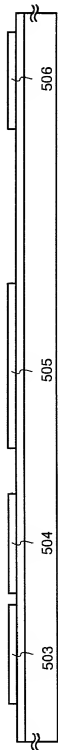


Fig. 13B

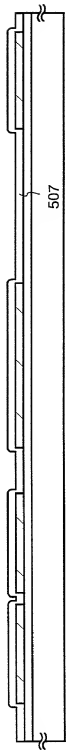


Fig. 13C

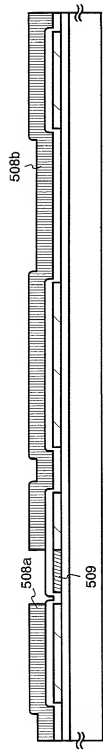


Fig. 13D

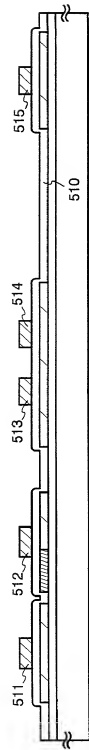


Fig. 13E

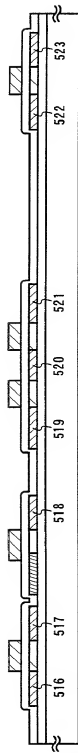


Fig. 14A

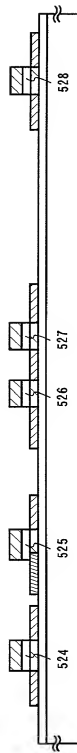


Fig. 14B

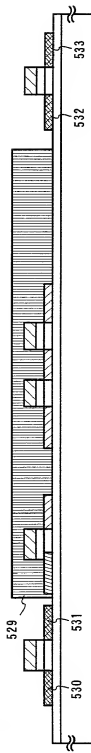


Fig. 14C

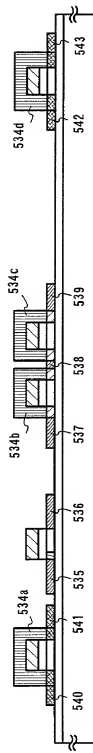


Fig. 14D

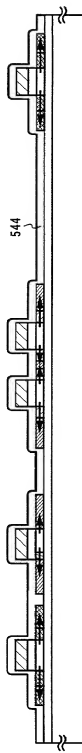


Fig. 14E

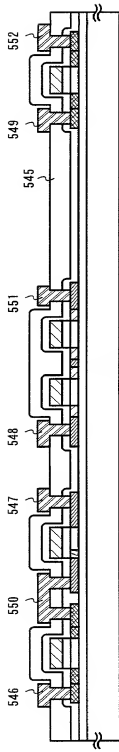


Fig. 15A

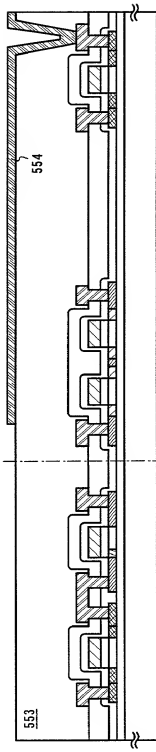


Fig. 15B

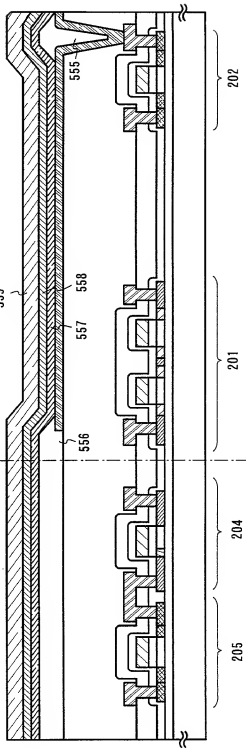


Fig. 15C

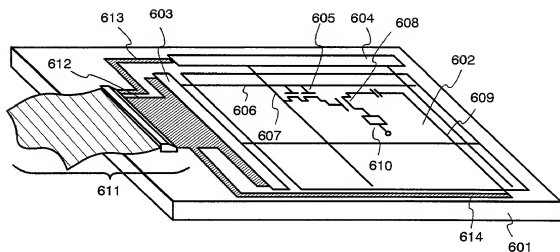


Fig. 16

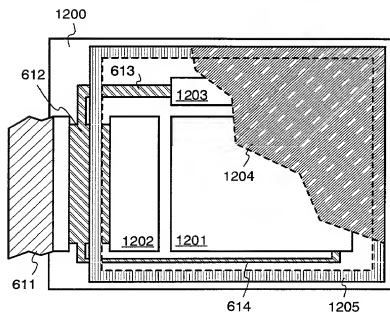


Fig. 17A

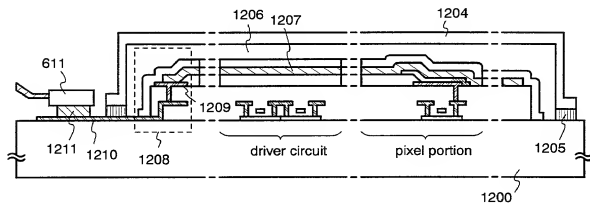


Fig. 17B

Fig. 18A

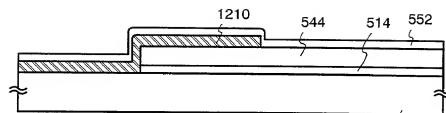


Fig. 18B

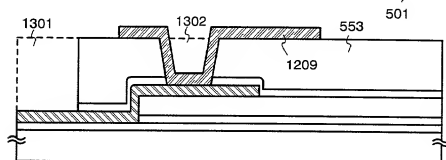
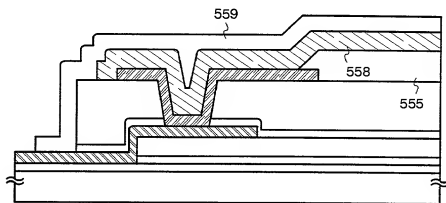


Fig. 18C





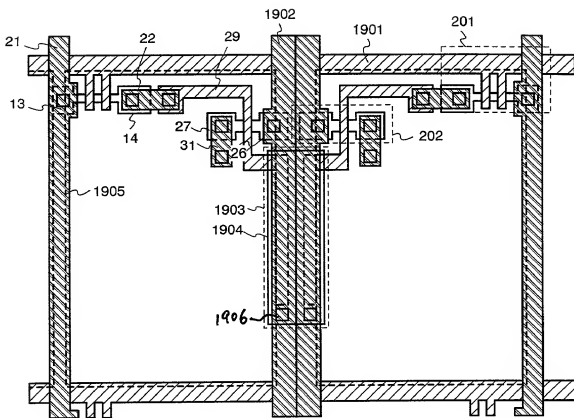


Fig. 19A

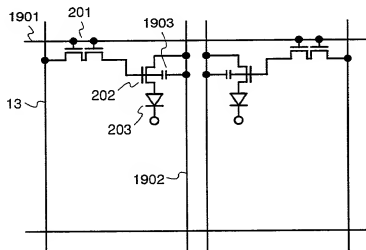


Fig. 19B

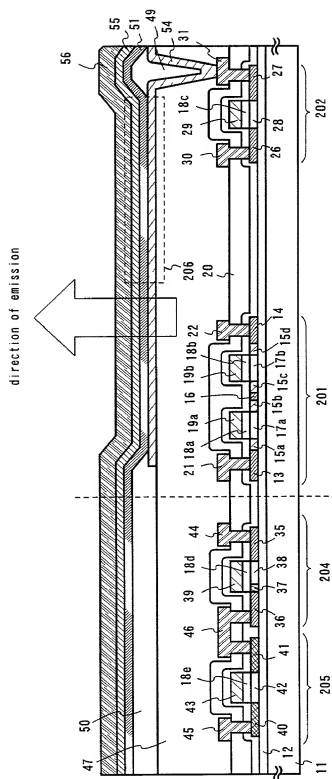
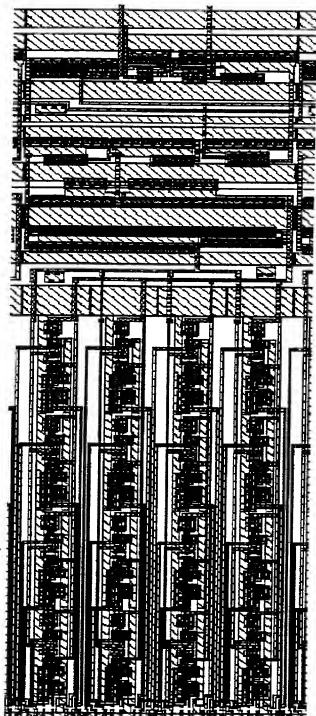


Fig. 20



shift register  
(2601)

latch 1  
(2602)

Fig. 21

Fig. 22A

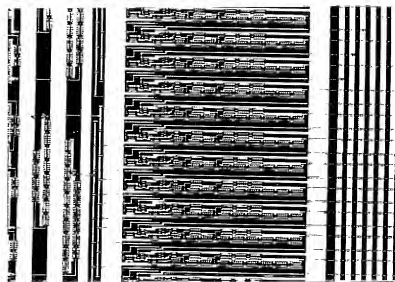
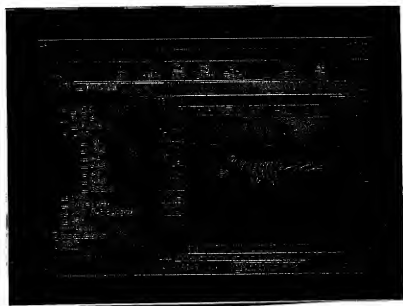


Fig. 22B



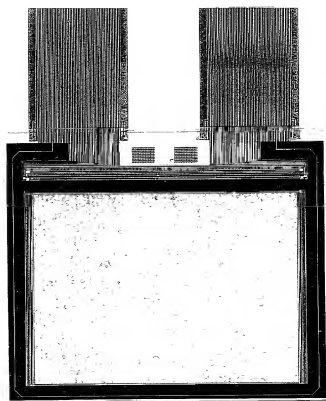


Fig. 23

Metal
Alq
$\alpha$ -NPD
CuPc
ITO
Substrate

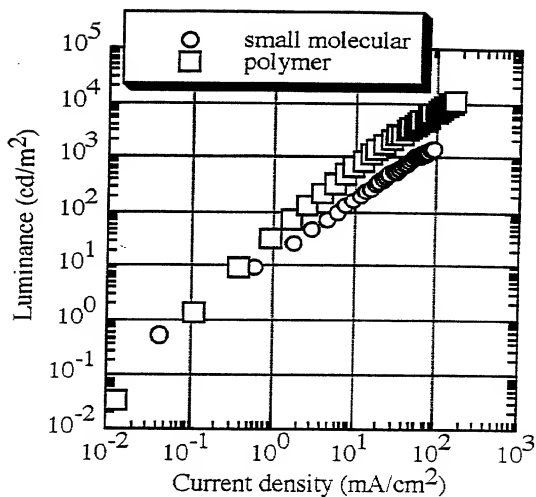
(A)

Metal
Polymer
ITO
Substrate

(B)

*Structures of OLED*

Fig. 24



*L-J characteristics for small molecular(open circle) and polymer(open square)*

Fig. 25

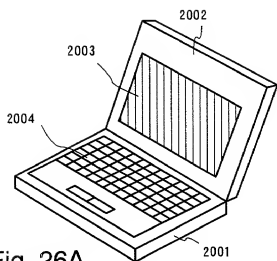


Fig. 26A

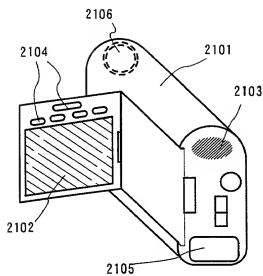


Fig. 26B

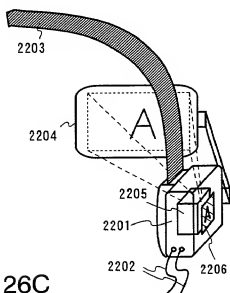


Fig. 26C

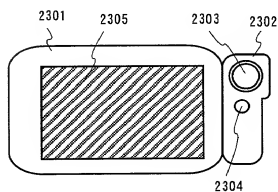


Fig. 26D

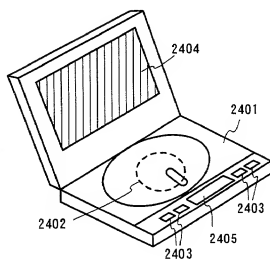


Fig. 26E

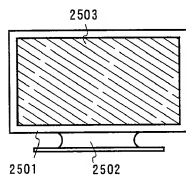


Fig. 26F



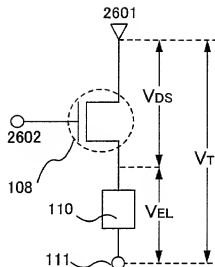


Fig. 27A

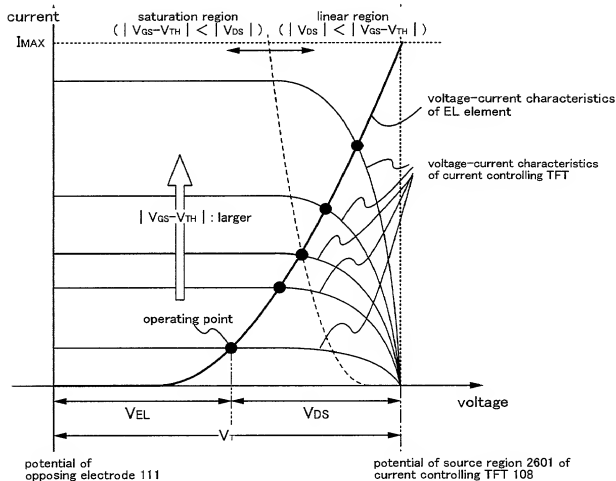


Fig. 27B

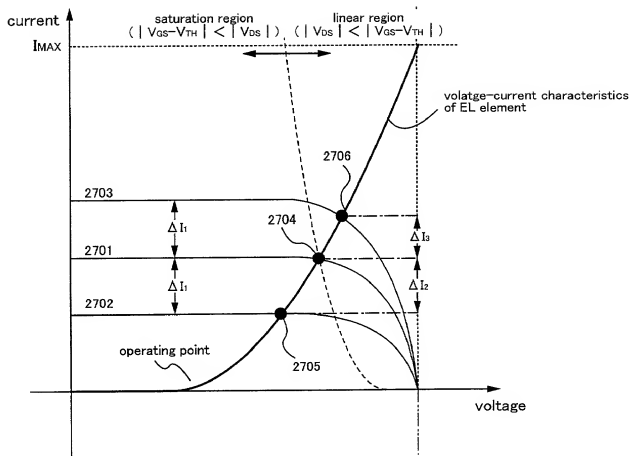


Fig. 28

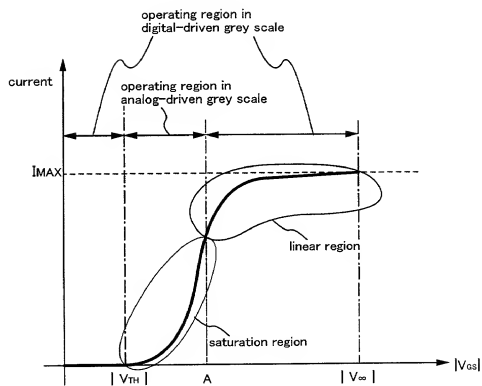


Fig. 29